

## МОЛЕКУЛЯРНА БІОФІЗИКА

УДК: 577.112+577.22

**КОМПЛЕКС ШАПЕРОНА GroEL С ФЛУОРесцеин-МЕЧЕНЫМ ДЕНАТУРИРОВАННЫМ ПЕПСИНОМ: СТЕХИОМЕТРИЯ И РОЛЬ ЛИГАНДОВ**

**Н. Ю. Марченко<sup>1</sup>, В. В. Марченков<sup>2</sup>, Н. В. Котова<sup>2</sup>, П. А. Калиман<sup>1</sup>,  
Г. В. Семисотнов<sup>2</sup>**

*1. Харьковский национальный университет им. В. Н. Каразина, пл. Свободы, 4, г. Харьков, Украина.  
lita@phys protres.ru*

*2. Институт белка РАН, ул. Институтская, 4, г. Пущино, Россия. nina@vega.protres.ru  
01 апреля 2005*

Одной из основных функций молекулярного шаперона GroEL (14-ти субъединичного белка клеток *E.coli*) является связывание полипептидных цепей, не имеющих жесткой упаковки боковых групп, и предотвращение их неспецифической агрегации. В настоящей работе с помощью гель-фильтрации и флуориметрического титрования исследовано взаимодействие GroEL с флуоресцеин-меченым ненативным пепсином (рН 7.5) в отсутствие и в присутствии различных лигандов GroEL (ионов Mg<sup>2+</sup>, АДФ, АТФ и 7-ми субъединичного ко-шаперона GroES). Показана определяющая роль ионов Mg<sup>2+</sup> в образовании комплекса GroEL с ненативным пепсином при умеренной ионной силе раствора (100мM KCl). Адениловые нуклеотиды (АДФ или АТФ) в присутствии ионов Mg<sup>2+</sup> уменьшают сродство GroEL к ненативному пепсину, и это уменьшение зависит как от природы нуклеотида и его концентрации, так и от присутствия ко-шаперона GroES. Флуориметрическое титрование показало, что в присутствии ионов Mg<sup>2+</sup> одна молекула GroEL связывает две молекулы денатурированного пепсина со средней константой диссоциации  $K_{diss}=3.6\times 10^{-9}$ М.

**КЛЮЧЕВЫЕ СЛОВА:** белок-белковые взаимодействия; шапероны; GroEL; GroES; флуориметрическое титрование.

Олигомерный (14-ти субъединичный) белок клеток *Escherichia coli* GroEL является наиболее изученным представителем семейства молекулярных шаперонов. Эти белки обладают способностью связывать широкое разнообразие ненативных полипептидных цепей, предотвращая их неспецифическую агрегацию и обеспечивая приобретение ими нативной конформации [1,2,3,4]. Очевидно, благодаря именно этому свойству синтез шаперонов резко возрастает при тепловом шоке, а также других клеточных стрессах [5,6,7]. Известно, что кроме ненативных полипептидных цепей GroEL связывает адениловые нуклеотиды (АТФ, АДФ) и другой олигомерный (7-ми субъединичный) белок теплового шока – ко-шаперон GroES. Кроме того, GroEL обладает слабой АТФ-азной активностью и гидролизует АТФ до АДФ [2,5,8].

Предполагается, что основными силами, стабилизирующими комплекс GroEL-ненативный белок, являются гидрофобные взаимодействия [9,10], однако есть данные, что электростатические взаимодействия тоже вносят определенный вклад [11,12]. Известно также, что лиганды GroEL, такие как АДФ, АТФ и ко-шаперон GroES, ослабляют сродство ненативных полипептидов к GroEL [13,14].

Исследования взаимодействия GroEL с нативной белковой мишенью и влияния на это взаимодействие лигандов проводятся обычно с ренатурирующими белками, ранние кинетические промежуточные состояния которыхочно взаимодействуют с GroEL [3,15,16]. Однако, в этом случае исследования осложняются тем, что в присутствии GroEL и его лигандов происходит дальнейшее сворачивание белковой мишени в нативную конформацию и её диссоциация с GroEL. Более удобными для такого рода исследований являются белки, нативная конформация которых может быть нарушена в ненативных для GroEL условиях. Одним из таких белков является пепсин, который при pH 7.5 находится в ненативной конформации типа «расплавленная глобула», не агрегирует в этих условиях и взаимодействует с GroEL [17].

Основной задачей настоящей работы явилось исследовать взаимодействие ненативного пепсина с GroEL при различных концентрациях его лигандов (ионов Mg<sup>2+</sup>, АДФ, АТФ и GroES), используя гель-фильтрацию и флуориметрическое титрование. Для этого к пепсину была ковалентно присоединена флуоресцентная метка (флуоресцеин).

Показано, что для образования прочного комплекса GroEL с ненативным пепсином (со стехиометрией 1:2) необходимо присутствие ионов Mg<sup>2+</sup>. Адениловые нуклеотиды (АДФ и АТФ) ослабляют сродство шаперона к ненативному пепсину, и это ослабление зависит как от природы нуклеотида (АДФ или АТФ), так и от их концентрации и присутствия ко-шаперона GroES.

Полученные данные демонстрируют важную роль лигандов GroEL в формировании и диссоциации его комплекса с ненативными белковыми мишениями.

### МАТЕРИАЛЫ И МЕТОДЫ

**Реактивы и белки.** В работе использованы аденоzin-5'-дифосфат (АДФ) Na-соль, аденоzin-5'-трифосфат (АТР) Na-соль, хроматографически очищенный пепсин слизистой оболочки свиньи, флуоресцеин 5(6)-изотиоцианат, L-гистидин (L-His) ("Sigma", США); хлористые натрий, калий и магний, углекислые кислые натрий и калий ("Реахим", Россия); этилендиаминтетраацетат (ЭДТА), N,N-диметилформамид, трис(гидроксиметил)аминометан (Tris) ("Serva", Германия). GroEL и GroES выделяли по известной методике [18] после экспрессии в клетках *E.coli* (штамм HB101) мультикопийной плазмида pGroE4 (полный groE оперон *E.coli*, клонированный в EcoRI сайте вектора pACYC184) [18]. Чистоту препарата определяли электрофорезом в поликариламидном геле [19]. Концентрацию белков определяли спектрофотометрически по поглощению на 280 нм, используя коэффициенты экстинкции ( $A_{280\text{nm}}^{0,1\%}$ ), равные 1.48 для нативного пепсина, 0.25 для GroEL и 0.14 для GroES [18]. Флуоресцентно меченный пепсин был приготовлен следующим образом. Пепсин (13.3мг) растворили в 1.9мл 0.15М K-Na-CO<sub>3</sub> (pH 9.1) и добавили 100мл 40ММ флуоресцеин изотиоцианата. Раствор инкубировали в течение 5 часов при 20°C. Препарат обессолили на колонке PD-10 в 25ММ L-His (pH 5.85). Дополнительную очистку меченого пепсина от низкомолекулярных компонентов и разделение в разной степени меченого пепсина проводили на колонке MonoQ HR5/5 в 25ММ L-His (pH 5.85), с элюзией в градиенте 0-1М NaCl. Образец диализовали против 500 мл 20ММ Tris-HCl (pH 7.5). Количество флуоресцентных меток на молекулу пепсина определяли, используя коэффициент экстинкции флуоресцеина ( $E_{490\text{nm}}^{1M} = 87000$  о. е.). В дальнейшей работе использовали пепсин, содержащий одну флуоресцеиновую метку на молекулу белка.

**Гель-фильтрация.** Связывание флуоресцеин-меченого пепсина с GroEL анализировали при помощи FPLC гель-фильтрации. Меченный пепсин (1.5μM) инкубировали с GroEL (1.5μM) в буфере элюции (20 mM Tris-HCl, 100 mM KCl, pH 7.5; где указано, в состав буфера элюции входили также 10 mM MgCl<sub>2</sub>, 5 mM ЭДТА, АДФ, АТФ и 3 μM GroES) 20 минут при 20°C. Образец наносили на гель-фильтрационную колонку Superose 6 HR 10/30, уравновешенную тем же буфером. Элюцию производили буфером, которым была уравновешена колонка, со скоростью 0.4мл/мин при 20°C. Элюцию флуоресцеин-меченого пепсина регистрировали по флуоресценции на 520нм с использованием проточного флуориметра FLD-6A ("Shimadzu", Япония). Количество пепсина, связанного с GroEL, определяли по площадям под пиками в областях элюции GroEL и свободного пепсина.

**Флуориметрическое титрование.** Флуоресцеин-меченный пепсин с концентрацией 50нМ титровали олигомером GroEL в буфере, содержащем 40ММ Tris-HCl, pH 7.5, 100ММ KCl, 10ММ MgCl<sub>2</sub>. Анизотропию флуоресценции флуоресцеин-меченого пепсина измеряли на спектрофлуориметре RF-5301 PC ("Shimadzu", Япония) при длинах волн возбуждения – 490нм и испускания – 520нм. Ширина щелей монохроматоров возбуждения и излучения составляла 3 и 10 нм, соответственно. Концентрацию связанного пепсина определяли по формуле:  $P_b = P_0(r_f - r_b)/(r_f - r_b)$ , где  $P_0$  – общая концентрация пепсина,  $r$  – наблюдаемая анизотропия пепсина,  $r_f$  и  $r_b$  – анизотропии свободного и связанного пепсина, соответственно [20]. Параметры связывания определяли из зависимости  $v/L_f$  от  $v$  (графиков Скэтчарда), где  $v$  – количество молей пепсина, связанного с молем олигомера GroEL, а  $L_f$  – концентрация свободного пепсина. При этом пересечение линейного графика Скэтчарда с осью абсцисс показывает количество мест связывания пепсина на поверхности олигомера GroEL, а наклон прямой – величину (-1/Kd), где Kd – константа диссоциации комплекса GroEL с пепсином [21].

### РЕЗУЛЬТАТЫ И ОБСУЖДЕНИЕ

#### Влияние лигандов GroEL на его взаимодействие с ненативным пепсином

В качестве метода для исследования влияния лигандов GroEL на его взаимодействие с ненативным пепсином был выбран метод гель-фильтрации на Superose 6 (см. Материалы и методы). На рис. 1 представлены профили элюции ненативного флуоресцеин-меченого пепсина в отсутствие и в присутствии GroEL и его лигандов. Видно, что пик элюции ненативного пепсина не является гомогенным. Разложение этого пика на составляющие компоненты показало, что ненативный пепсин сам по себе элюирует в виде мономеров (M.w. 35кДа), димеров (M.w. 70кДа) и тримеров (M.w. 105кДа). Димеры и тримеры очень лабильны и при уменьшении концентрации белка диссоциируют до мономеров (не показано). GroEL (M.w. 800кДа) образует прочный комплекс с ненативным пепсином только в присутствии ионов Mg<sup>2+</sup> (см. также табл. 1). Этот результат согласуется с данными о влиянии двухвалентных катионов на сродство GroEL к денатурированному пепсину, полученными флуоресцентной корреляционной спектроскопией [22]. Еще одним важным результатом,

## Комплекс шаперона GroEL с флуоресцеин-меченым денатурированным ...

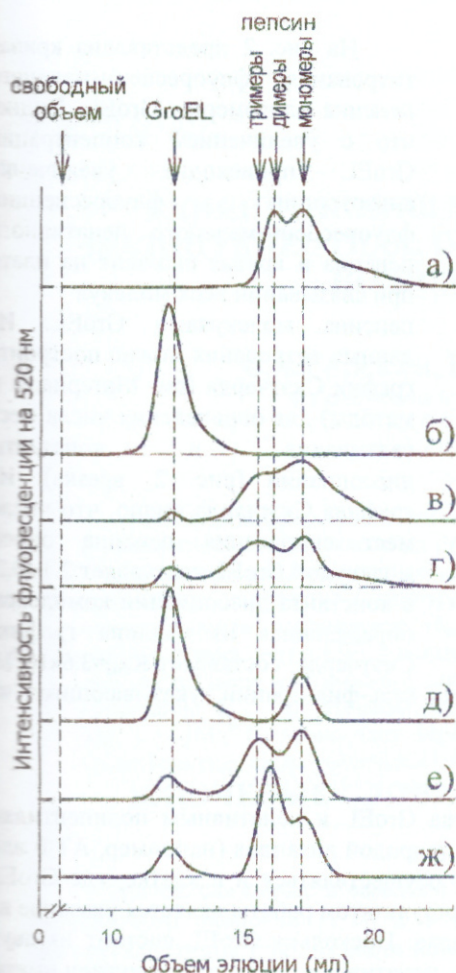


Таблица 1  
Взаимодействие флуоресцеин-меченного ненативного пепсина с GroEL в присутствии его лигандов по данным гель-фильтрации (см. Материалы и методы)

пепсин/GroEL	$Mg^{2+}$	АДФ, мМ	АТФ, мМ	GroES	% связанных пепсина
1:1	+	-	-	-	100
2:1	+	-	-	-	95
1:1	-	-	-	-	5
1:1	+	0.1	-	-	67
1:1	+	0.1	-	+	16
1:1	+	1	-	-	10
1:1	+	1	-	+	3
1:1	+	-	0.1	-	11
1:1	+	-	0.1	+	1

представленным на рис. 1 и в табл. 1, является зависимость сродства GroEL к денатурированному пепсину от природы аденилового нуклеотида, его концентрации и наличия кошперона GroES. Так, АТФ значительно сильнее чем АДФ ослабляет взаимодействие GroEL с денатурированным пепсином при равных концентрациях, а увеличение концентрации АДФ на порядок (с 0.1 мМ до 1 мМ) приводит к примерно такому же ослаблению комплекса GroEL-пепсин, как и 0.1 мМ АТФ. Добавление GroES значительно усиливает дестабилизирующее действие адениловых нуклеотидов на комплекс GroEL-пепсин (см. рис. 1 и табл. 1). Этот результат согласуется с ранее полученными нами данными о влиянии лигандов GroEL на его сродство к лизоциму с восстановленными дисульфидными связями [14]. Из представленных результатов следует интересное наблюдение, отмеченное нами ранее [14] и представленное также другими авторами без обсуждения [17]. Оно заключается в том, что полная шаперонная система, состоящая из GroEL,  $Mg^{2+}$ -АТФ или  $Mg^{2+}$ -АДФ, GroES и ненативного белка, не удерживает ненативный белок, который не может свернуться, в полости GroEL под «крышкой» GroES, как это следует из популярных моделей функционирования GroEL как молекулярного шаперона (см., например, [23]). Более того, образование комплекса GroEL с GroES в присутствии ионов  $Mg^{2+}$  и адениловых нуклеотидов приводит к значительному ослаблению взаимодействия GroEL с ненативным белком (см. рис. 1, табл. 1).

Неожиданный результат был также получен при двухкратном повышении молярного избытка денатурированного пепсина над GroEL (табл. 1). Оказалось, что одна молекула GroEL может связывать две молекулы денатурированного белка, в то время как ранее считалось, что только одна молекула денатурированного белка связывается с одной тетрадекамерной молекулой GroEL [23]. Чтобы проверить этот результат гель-фильтрации, нами было проведено флуориметрическое титрование флуоресцеин-меченного денатурированного пепсина избытком GroEL.

### Определение стехиометрии и константы диссоциации комплекса GroEL с денатурированным пепсином методом флуориметрического титрования

Поскольку молекула ненативного пепсина имеет существенно меньшие размеры, чем молекула GroEL, удобным параметром для регистрации их комплекса в равновесных условиях является анизотропия флуоресценции флуоресцеин-меченного пепсина, которая должна увеличиваться при взаимодействии пепсина с GroEL за счет уменьшения вращательной деполяризации флуоресценции.

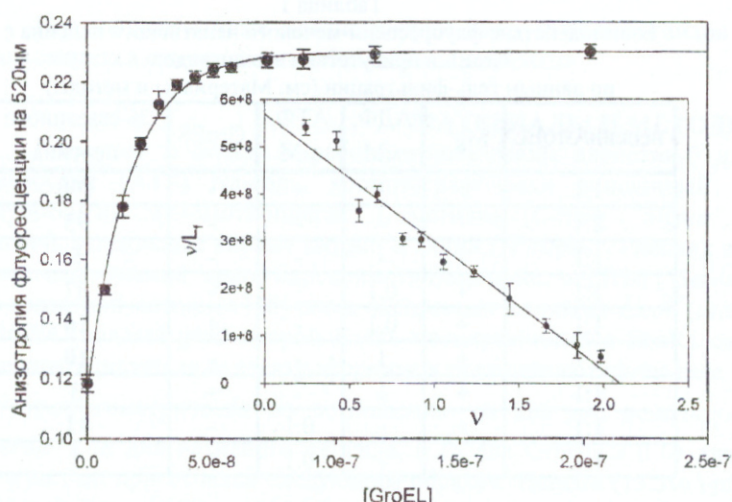


Рис. 2. Титрование 50нМ флуоресцеин-меченого пепсина ( $5 \times 10^{-8}$ М) олигомером GroEL с регистрацией анизотропии флуоресценции на 520нм. На врезке данные по титрованию представлены в виде графика Скэтчарда (см. Материалы и методы) для определения числа мест связывания и константы диссоциации (рис. 2, врезка). Из графика Скэтчарда видно, что число мест связывания пепсина одной молекулой GroEL составляет  $2.1 \pm 0.2$ , а константа диссоциации комплекса, определенная из наклона графика Скэтчарда, составляет  $K_{diss} = 3.6 \times 10^{-9}$ М.

Таким образом, данные титрования согласуются с данными по гель-фильтрации, указывающими на связывание двух молекул пепсина одной молекулой GroEL (табл. 1).

## ВЫВОДЫ

Результаты работы указывают на то, что степень сродства GroEL к ненативным полипептидам регулируется его лигандами. Эта регуляция обеспечивается как природой лигандов (например, АТФ или АДФ), так и их концентрацией. Такого рода регуляция может осуществляться и в клетке, где GroEL функционирует в присутствии своих лигандов. Другим важным результатом работы является указание на то, что GroEL может связывать две молекулы ненативного белка. Поскольку GroEL состоит из двух колец, имеющих одинаковую структуру и способность связывать ненативные белки, то он должен иметь, по крайней мере, два места связывания ненативных белков.

Работа поддержана грантами Московской области и РФФИ (№ 04-04-47293-Р и № 03-04-49123), грантом ННМИ № 55000305, программой МКБ РАН – № 10002-251/П/145-161/140503-089, грантом Президента РФ - № НШ-1968.2003.4.

## СПИСОК ЛИТЕРАТУРЫ

- Ellis R.J. // Cell Stress. Chaperones. 1996. 1. P. 155-160.
- Gething M.J. and Sambrook J. // Nature. 1992. 355. P. 33-45.
- Martin J., Langer T., Boteva R. et al. // Nature. 1991. 352. P. 36-42.
- Viitanen P.V., Gatenby A.A. and Lorimer G.H. // Protein Sci. 1992. 1. P. 363-369.
- Lindquist S. and Craig E.A. // Annu. Rev. Genet. 1988. 22. P. 631-677.
- Christman M.F., Morgan R.W., Jacobson F.S. et al. // Cell. 1985. 41. P. 753-762.
- Schlesinger M.J. // J. Biol. Chem. 1990. 265. P. 12111-12114.
- Fenton W.A. and Horwich A.L. // Protein Sci. 1997. 6. P. 743-760.
- Hayer-Hartl M.K., Ewbank J.J., Creighton T.E. et al. // EMBO J. 1994. 13. P. 3192-3202.
- Lin Z., Schwartz F.P. and Eisenstein E. // J. Biol. Chem. 1995. 270. P. 1011-1014.
- Viitanen P.V., Lubben T.H., Reed J. et al. // Biochemistry. 1990. 29. P. 5665-5671.
- Katsumata K., Okazaki A., Tsurupa G.P. et al. // J. Mol. Biol. 1996. 264. P. 643-649.
- Todd M.J., Viitanen P.V. and Lorimer G.H. // Science. 1994. 265. P. 659-666.
- Marchenko N.Yu., Marchenko V.V., Kotova N.V. et al. // Ukr. Biokhim. Zh. 2003. 75. P. 88-94.
- Goloubinoff P., Christeller J.T., Gatenby A.A. et al. // Nature. 1989. 342. P. 884-889.
- Chen J., Walter S., Horwich A.L. et al. // Nat. Struct. Biol. 2001. 8. P. 721-728.
- Aoki K., Taguchi H., Shindo Y. et al. // J. Biol. Chem. 1997. 272. P. 32158-32162.
- Lissin N.M., Venyaminov S.Y. and Girshovich A.S. // Nature. 1990. 348. P. 339-342.
- Laemmli U.K. // Nature. 1970. 227. P. 680-685.
- Lakowicz J.R. Principles of fluorescence spectroscopy. Kluwer Academic / Plenum Publishers, New York. 1999.
- Schulz G.E., Schirmer R.H. Principles of protein structure. Springer-Verlag, New York - Heidelberg - Berlin; 1979.
- Pack C.G., Nishimura G., Tamura M. et al. // Cytometry. 1999. 36. P. 247-253.
- Hayer-Hartl M.K., Martin J. and Hartl F.U. // Science. 1995. 269. P. 836-841.